

流体の方程式を援用した CGの演出手法

土橋 宜典

北海道大学大学院情報科学研究科
<http://ime.ist.hokudai.ac.jp/~doba>
doba@ime.ist.hokudai.ac.jp

流体シミュレーション

- リアル
- 計算コストが極めて高い
- どんな結果になるかわからない
- 目的の映像効果を実現することは至難

演出表現のために重要な技術

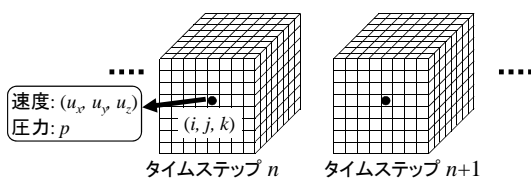
- 高速化
- 流体シミュレーションの制御

高速化

- 速い計算機を使う
- 複数台の計算機を使う(並列計算)
- GPUを使う

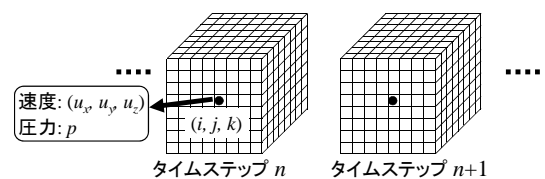
GPUによる高速化

- タイムステップ n の状態はタイムステップ $n-1$ の状態から決まる
- 格子点ごとに独立に計算可能



GPUによる高速化

- 最新のGPU: 3072演算コア!
- 数十倍~数百倍の高速化が可能




高速化

- アダプティブなシミュレーション
 - 八分木構造の利用
 - 四面体メッシュの利用
 - 重なり格子の利用

アダプティブなシミュレーション

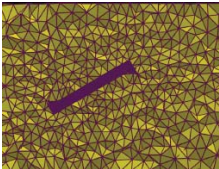
- 八分木構造の利用
 - 複雑な部分を検出して再帰的に分割
 - 複雑でない部分は統合



[Losasso04]

アダプティブなシミュレーション

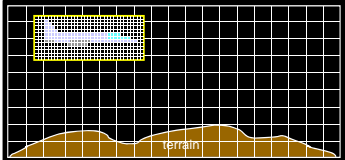
- 四面体メッシュの利用
 - 解析空間を四面体に分割
 - 境界の形状に沿って分割



[Klinger06]

アダプティブなシミュレーション

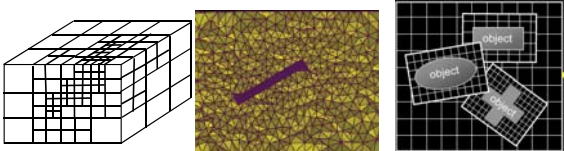
- 重なり格子の利用
 - 重なりあった独立の格子
 - 物体に付随して格子を移動



[Dobashi08]

アダプティブなシミュレーション

- 精度・計算効率とも向上
- メッシュデータの管理が非常に煩雑
- そこまで速くならない



[Losasso04] [Klinger06] [Dobashi08]

高速化

- 次元を下げる
- 2次元シミュレーションの利用
- データベースの利用

2次元シミュレーションの利用

- 複数の断面を生成

3次元空間
2次元平面

2次元シミュレーションの利用

- 複数の断面を生成
- 2次元シミュレーション

3次元空間
2次元平面

2次元シミュレーションの利用

- 複数の断面を生成
- 2次元シミュレーション

3次元空間
2次元平面

2次元シミュレーションの利用

- 複数の断面を生成
- 2次元シミュレーション

3次元空間
2次元平面
独立にシミュレーション

2次元シミュレーションの利用

- 3次元の速度場を補間
- 乱流の特性を考慮

3次元空間
2次元平面
独立にシミュレーション

2次元シミュレーションの利用

- 結果

[Rasmussen03]

データベースを利用した高速化

- 低次元化された空間で解く

$$\mathbf{u} = \sum_{i=1}^m \mathbf{u}_i r_i = \mathbf{B} \mathbf{r} \quad \left[\begin{array}{l} \mathbf{u} \in \mathbf{R}^n \quad \mathbf{r} \in \mathbf{R}^m \\ \mathbf{B}: n \times m \text{の行列} \end{array} \right]$$

$$\dot{\mathbf{u}} = \mathbf{M} \mathbf{u} \iff \dot{\mathbf{r}} = \mathbf{B}^T \mathbf{M} \mathbf{B} \mathbf{r}$$

これを解く

[Treuille04]

データベースを利用した高速化

- 基底速度場行列 \mathbf{B} の作成

[Treuille04]

データベースを利用した高速化

- 利点

$$\dot{\mathbf{u}} = -(\mathbf{u} \cdot \nabla) \mathbf{u} - \frac{1}{\rho} \nabla p + \nu \nabla^2 \mathbf{u} + \mathbf{f}$$

$\nabla \cdot \mathbf{u} = 0$ ← **これがやっかい**

$\frac{\Delta t}{\rho} \nabla^2 p = \nabla \cdot \tilde{\mathbf{u}}$ ← **この計算が遅い**

- 基底速度場は $\nabla \cdot \mathbf{u} = 0$ を満足している!

[Treuille04]

データベースを利用した高速化

- 利点

$$\dot{\mathbf{u}} = -(\mathbf{u} \cdot \nabla) \mathbf{u} - \frac{1}{\rho} \nabla p + \nu \nabla^2 \mathbf{u} + \mathbf{f}$$

~~$\nabla \cdot \mathbf{u} = 0$~~ ← **これがやっかい**

~~$\frac{\Delta t}{\rho} \nabla^2 p = \nabla \cdot \tilde{\mathbf{u}}$~~ ← **この計算が遅い**

- 基底速度場は $\nabla \cdot \mathbf{u} = 0$ を満足している!

[Treuille04]

データベースを利用した高速化

- 利点

$$\mathbf{u} \dot{=} -(\mathbf{u} \cdot \nabla) \mathbf{u} + \nu \nabla^2 \mathbf{u} + \mathbf{f}$$

$$\left\{ \begin{array}{l} \dot{\mathbf{u}} = -(\mathbf{u} \cdot \nabla) \mathbf{u} = \mathbf{A} \mathbf{u} \iff \dot{\mathbf{r}} = \mathbf{B}^T \mathbf{A} \mathbf{B} \mathbf{r} \\ \dot{\mathbf{u}} = \nu \nabla^2 \mathbf{u} = \mathbf{D} \mathbf{u} \iff \dot{\mathbf{r}} = \mathbf{B}^T \mathbf{D} \mathbf{B} \mathbf{r} \\ \dot{\mathbf{u}} = \mathbf{f} \iff \dot{\mathbf{r}} = \mathbf{B}^T \mathbf{f} \end{array} \right.$$

[Treuille04]

データベースを利用した高速化

- 利点

$$\mathbf{u} \dot{=} -(\mathbf{u} \cdot \nabla) \mathbf{u} + \nu \nabla^2 \mathbf{u} + \mathbf{f}$$

事前に計算可能!

$$\left\{ \begin{array}{l} \dot{\mathbf{u}} = -(\mathbf{u} \cdot \nabla) \mathbf{u} = \mathbf{A} \mathbf{u} \iff \dot{\mathbf{r}} = \mathbf{B}^T \mathbf{A} \mathbf{B} \mathbf{r} \\ \dot{\mathbf{u}} = \nu \nabla^2 \mathbf{u} = \mathbf{D} \mathbf{u} \iff \dot{\mathbf{r}} = \mathbf{B}^T \mathbf{D} \mathbf{B} \mathbf{r} \\ \dot{\mathbf{u}} = \mathbf{f} \iff \dot{\mathbf{r}} = \mathbf{B}^T \mathbf{f} \end{array} \right.$$

[Treuille04]

データベースを利用した高速化

- 例

[Treuille04]

データベースを利用した高速化

- 2次元シミュレーションによりデータベースを構築する方法

低解像度 → 高解像度

2次元シミュレーションによりデータベースを構築する方法

2次元シミュレータ → 高解像度 → PCA → データベース

3次元シミュレータ → 低解像度 → converter → 高解像度 → 移流 → 高解像度

2次元シミュレーションによりデータベースを構築する方法

- データベースの構築

2次元シミュレータ → 2次元速度場 → ブロック分割 → ブロック速度場

2次元シミュレーションによりデータベースを構築する方法

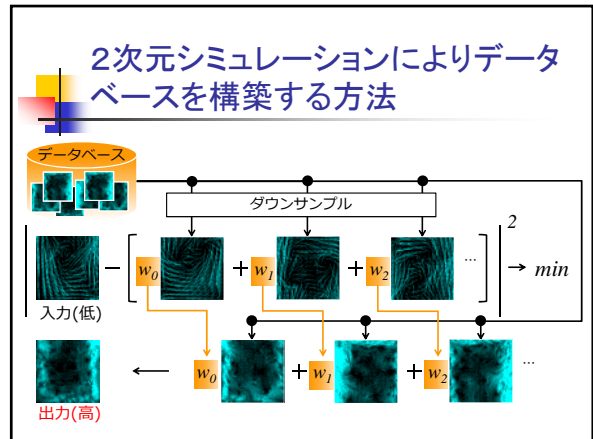
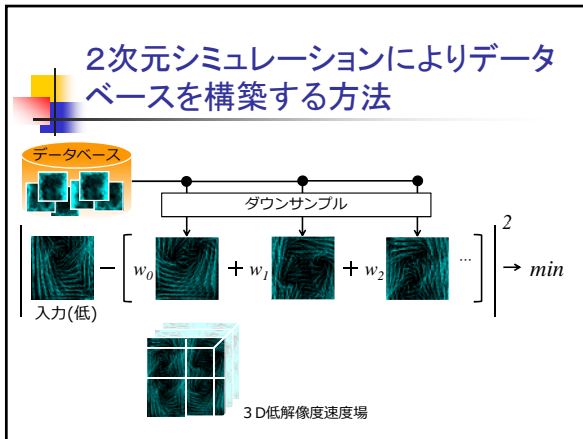
- データベースの構築

ブロック速度場 → PCA → データベース → 基本ブロック速度場

2次元シミュレーションによりデータベースを構築する方法

- 高解像度化処理

低解像度 → データベース → converter → 高解像度



2次元シミュレーションによりデータベースを構築する方法

- 計算時間の比較

T_{pre}	T_{low}	T_{synth}	T_{high}
48.72 sec	0.05 sec	0.34 sec	0.91 sec

T_{pre} : 前計算 T_{low} : 低解像度シミュレーション
 T_{synth} : 高解像度化処理 T_{high} : 高解像度シミュレーション

- ### 演出表現のために重要な技術
- 高速化
 - 流体シミュレーションの制御



- ### 外力による煙の制御
- 最小化問題として定式化
- シミュレーションの1タイムステップ
- $$\mathbf{q}_t = S(\mathbf{q}_{t-1}) \quad (\mathbf{q}_t: \text{時刻}t\text{の速度場と密度場})$$
- シミュレーションの全体
- $$\Psi(\mathbf{q}_0) = (\mathbf{q}_1, \mathbf{q}_1, \dots, \mathbf{q}_n)$$
- $$\Psi(\mathbf{q}_0, \mathbf{u}) = (\mathbf{q}_1, \mathbf{q}_1, \dots, \mathbf{q}_n)$$
- (\mathbf{u} : 目的の状態を与える外力)

外力による煙の制御

- 最小化問題として定式化

$$\arg \min_{\mathbf{u}} \varphi(\Psi(\mathbf{q}_0, \mathbf{u}), \mathbf{u})$$

$$\varphi(\Psi(\mathbf{q}_0, \mathbf{u}), \mathbf{u}) = \varphi_k(\Psi(\mathbf{q}_0, \mathbf{u})) + \varphi_s(\mathbf{u})$$

φ_k : 目標状態との相違を評価する関数
 φ_s : 加えた力の総和を評価する関数
- 準ニュートン法により解く

外力による煙の制御

- 目的関数と微分

$$\varphi_s = k_s \sum_{t=0}^n |\mathbf{f}_t|^2, \quad \frac{d\varphi_s}{du_k} = 2k_s \sum_{t=0}^n \mathbf{f}_t \cdot \frac{d\mathbf{f}_t}{du_k}$$
- \mathbf{f} はガウス関数を用いて表現
- 解析的に微分可能

外力による煙の制御

- 目的関数と微分

$$\varphi_k = k_d \sum_{t \in K_d} |\rho_t - \rho_t^*|^2 + k_v \sum_{t \in K_v} |\mathbf{v}_t - \mathbf{v}_t^*|^2$$

$$\frac{d\varphi_k}{du_k} = 2k_d \sum_{t \in K_d} (\rho_t - \rho_t^*) \frac{d\rho_t}{du_k} + 2k_v \sum_{t \in K_v} (\mathbf{v}_t - \mathbf{v}_t^*) \frac{d\mathbf{v}_t}{du_k}$$

外力による煙の制御

- 目的関数と微分

$$\varphi_k = k_d \sum_{t \in K_d} |\rho_t - \rho_t^*|^2 + k_v \sum_{t \in K_v} |\mathbf{v}_t - \mathbf{v}_t^*|^2$$

$$\frac{d\varphi_k}{du_k} = 2k_d \sum_{t \in K_d} (\rho_t - \rho_t^*) \frac{d\rho_t}{du_k} + 2k_v \sum_{t \in K_v} (\mathbf{v}_t - \mathbf{v}_t^*) \frac{d\mathbf{v}_t}{du_k}$$

シミュレーションにより得られる密度と速度の微分

外力による煙の制御

- シミュレーションの微分

$$\mathbf{q}_t = S(\mathbf{q}_{t-1})$$

$$S = M \circ A_\rho \circ P \circ D \circ A_v \circ F$$

M : 数値拡散の補正
 A_ρ : 移流 (密度)
 P : 非圧縮性
 D : 拡散
 A_v : 移流 (速度)
 F : 外力
- 各項について \mathbf{q} の微分を計算しながら更新

外力による煙の制御

- 非圧縮性(P)と拡散(D)
 - いずれも線形な演算子
$$\frac{dP}{du_k}(\mathbf{v}) = P \left(\frac{d\mathbf{v}}{du_k} \right)$$

$$\frac{dD}{du_k}(\mathbf{v}) = D \left(\frac{d\mathbf{v}}{du_k} \right)$$

外力による煙の制御

- 移流(A)

$$A(\mathbf{v}, \sigma, \mathbf{p}_0) = I(\sigma, \mathbf{p}_s), \quad \mathbf{p}_i = \mathbf{p}_{i-1} - \Delta t I(\mathbf{v}, \mathbf{p}_{i-1})$$

$$\frac{dA}{du_k}(\mathbf{v}, \sigma, \mathbf{p}_0) = \frac{dI}{du_k}(\sigma, \mathbf{p}_s)$$

$$\frac{d\mathbf{p}_i}{du_k} = \frac{d\mathbf{p}_{i-1}}{du_k} - \Delta t \frac{dI}{du_k}(\mathbf{v}, \mathbf{p}_{i-1})$$

外力による煙の制御

- 数値拡散の補正(M)

$$\rho' = \rho \frac{m}{\sum \rho}$$

$$\frac{d\rho'}{du_k} = \frac{d\rho}{du_k} \frac{m}{\sum \rho} - \rho \frac{m}{(\sum \rho)^2} \sum \frac{d\rho}{du_k}$$

外力による煙の制御

- 外力(F)

$$F(\mathbf{v}) = \mathbf{v} + \mathbf{f}$$

$$\frac{dF}{du_k}(\mathbf{v}) = \frac{d\mathbf{v}}{du_k} + \frac{d\mathbf{f}}{du_k}$$

外力による煙の制御

```

EVALUATE(u)
  (φ, dφ/du) ← (0, 0)
  (ρ, v, dρ/du, dv/du) ← (ρ0, v0, 0, 0)

  for t ← 1 to n
    - derivative calculation
    for each active control uk
      dI/duk ← FORCEDERIV(t, dv/duk, u)
      dv/duk ← dv/duk + dI/duk
      dv/duk ← ADVECTDERIV(v, v, dv/duk)
      dv/duk ← DIFFUSE(dv/duk)
      dv/duk ← PROJECT(dv/duk)
      dρ/duk ← ADVECTDERIV(v, ρ, dρ/duk)
      dρ/duk ← PRESERVEMASSDERIV(ρ, dρ/duk)
  
```

外力による煙の制御

```

- fluid simulation
f ← FORCE(t, u)
v ← v + f
v ← ADVECT(v, v)
v ← DIFFUSE(v)
v ← PROJECT(v)
ρ ← ADVECT(v, ρ)
ρ ← PRESERVEMASS(ρ)

- objective function
φ ← φ + OBJECTIVE(t, ρ, v, f)
for each active control uk
  dφ/duk ← dφ/duk
  + GRAD(t, ρ, dρ/duk, v, dv/duk, f, dI/duk)
return (φ, dφ/du)
  
```

外力による煙の制御



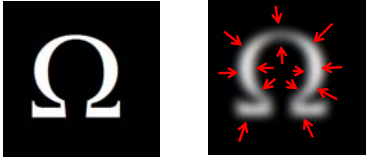
[Treuille03]

外力による煙の制御

- 目的形状に導く外力を自動計算
- 最適化に数時間必要(2~24時間)
- 制御されている感が拭えない(不自然)

ポテンシャル場による制御

- 目的形状からポテンシャル場を計算
 - 目的形状のフィルタリング処理
- ポテンシャル場の勾配を外力として付加



[Fattal04]

ポテンシャル場による制御

- 与えられるデータ
 - 初期の煙の密度分布 ρ_0
 - 目的の煙の密度分布 ρ^*



ポテンシャル場による制御

- ポテンシャル場を使う利点

$$\frac{\partial \mathbf{u}}{\partial t} = -(\mathbf{u} \cdot \nabla) \mathbf{u} - \nabla p + \nu \nabla^2 \mathbf{u} + \mathbf{f} \quad \nabla \cdot \mathbf{u} = 0$$

ポテンシャル場による制御

- ポテンシャル場を使う利点

$$\frac{\partial \mathbf{u}}{\partial t} = -(\mathbf{u} \cdot \nabla) \mathbf{u} - \nabla p + \nu \nabla^2 \mathbf{u} + \mathbf{f} \quad \nabla \cdot \mathbf{u} = 0$$

$\mathbf{u} = \mathbf{0}$ $\mathbf{f} = \nabla p$

ポテンシャル場による制御

- ポテンシャル場を使う利点

$$\frac{\partial \mathbf{u}}{\partial t} = -(\mathbf{u} \cdot \nabla) \mathbf{u} - \nabla p + \nu \nabla^2 \mathbf{u} + \mathbf{f} \quad \nabla \cdot \mathbf{u} = 0$$

$\mathbf{u} = \mathbf{0}$ $\mathbf{f} = \nabla p$

- \mathbf{f} をポテンシャルの勾配にしておけば、目的形状に達し、 $\mathbf{u} = \mathbf{0}$ となって安定する

ポテンシャル場による制御

- ポテンシャル場の設計
 - 目的形状の方向に力を発生

$$F(\rho, \rho^*) \propto \nabla \rho^*$$

0となる場所がなく、弱過ぎない

$$F(\rho, \rho^*) \propto \frac{\nabla \tilde{\rho}^*}{\tilde{\rho}^*} \quad (\tilde{\rho}^* = G^* \rho^*)$$

ポテンシャル場による制御

- ポテンシャル場の設計
 - 煙のないところに力を加えない

$$F(\rho, \rho^*) = \rho \frac{\nabla \tilde{\rho}^*}{\tilde{\rho}^*}$$


ポテンシャル場による制御

- 例



外力によらない制御

- 雲のシミュレーションの制御



[Dobashi04]

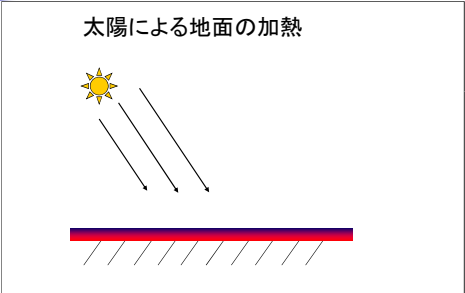
外力によらない制御

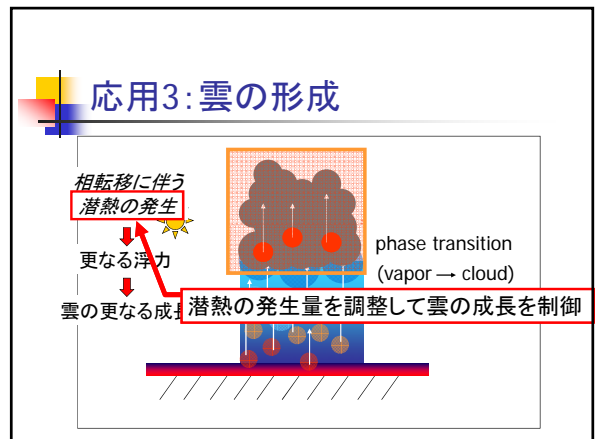
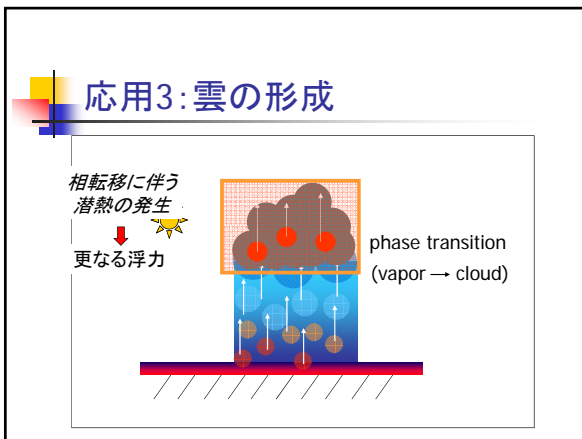
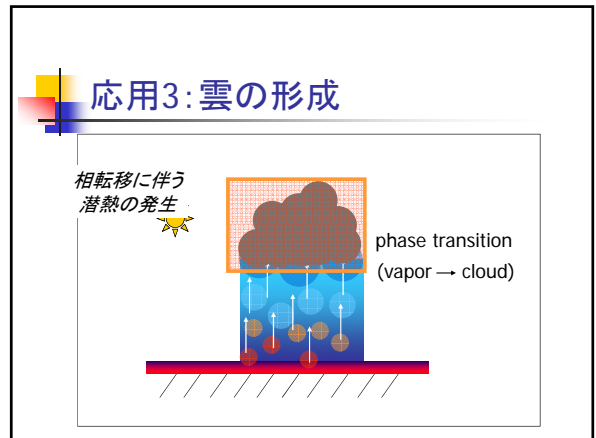
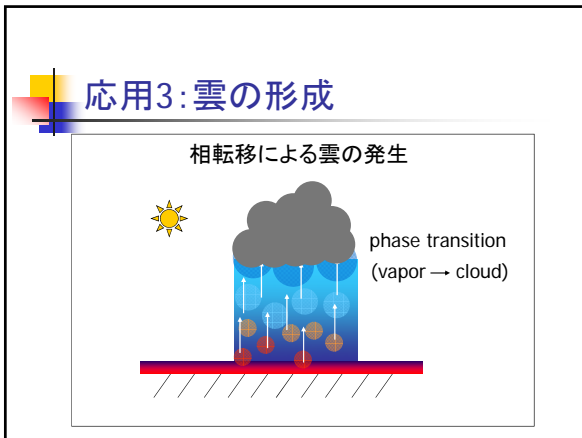
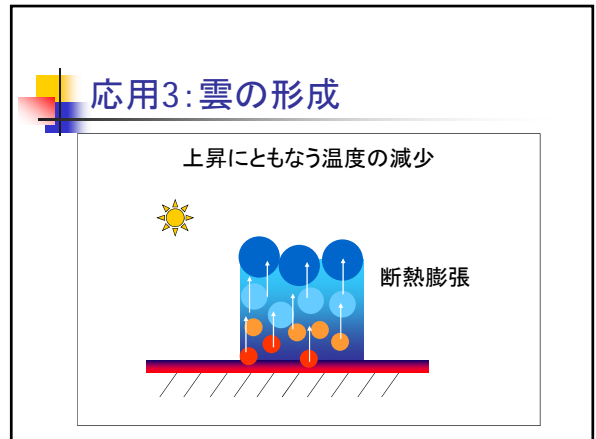
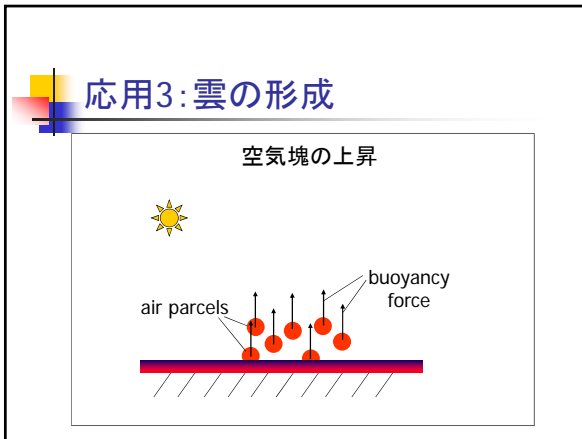
- 雲のシミュレーションの制御

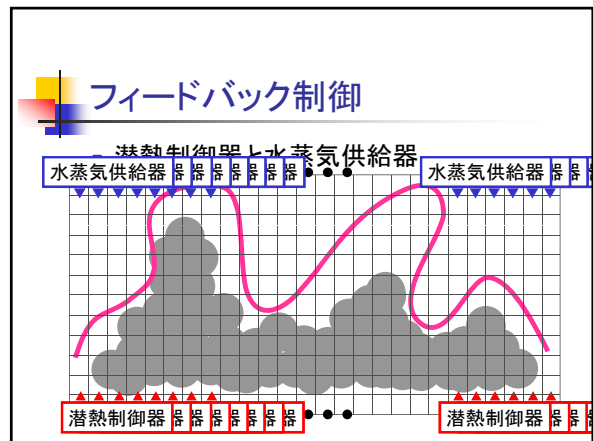
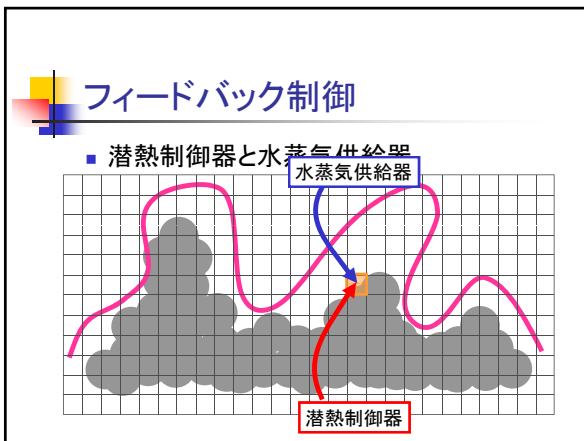
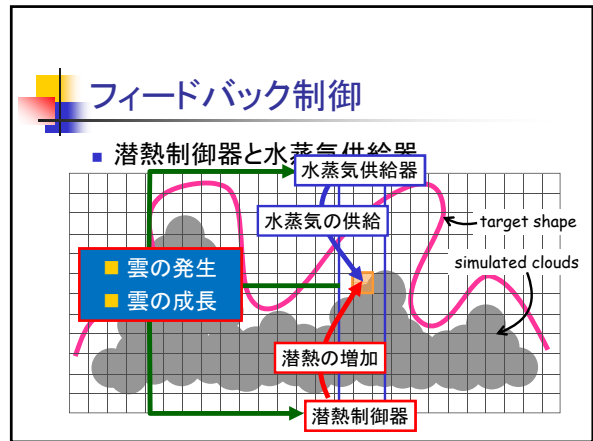
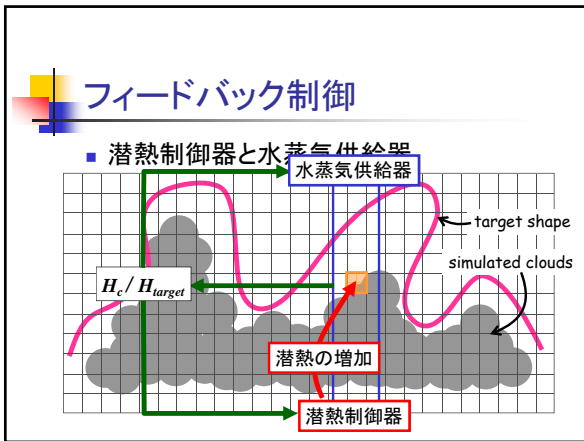
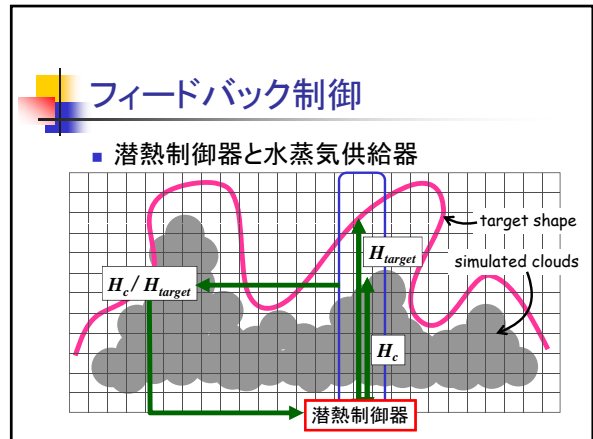
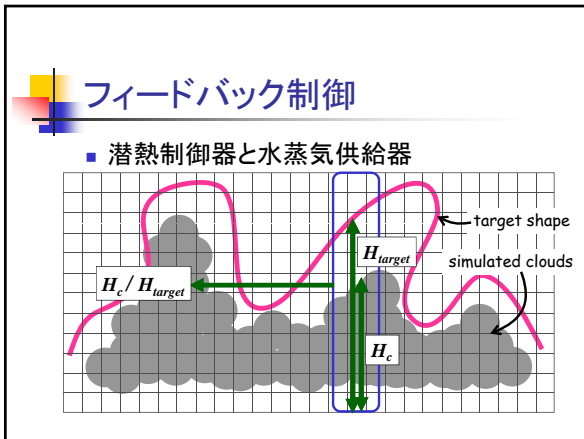


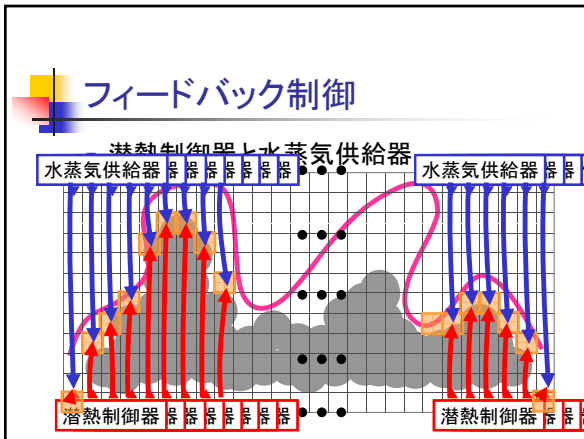
応用3: 雲の形成

太陽による地面の加熱









大気の流れ

- 非圧縮性ナビエ-ストークス方程式

$$\frac{\partial \mathbf{u}}{\partial t} = -(\mathbf{u} \cdot \nabla) \mathbf{u} - \nabla p + \mathbf{f} + \mathbf{B}$$

$$\nabla \cdot \mathbf{u} = 0$$

(浮力)

\mathbf{u} : velocity \mathbf{f} : external force p : pressure t : time

浮力と温度

- 熱浮力

$$\mathbf{B} = k_b \frac{T - T_0}{T_0} \mathbf{z}$$

T : 温度 T_0 : 環境温度
 \mathbf{z} : 鉛直上向きベクトル k_b : 浮力係数

- 浮力の変化

$$\frac{\partial T}{\partial t} = -(\mathbf{u} \cdot \nabla) T - \Gamma_d v_z + Q C_c + S_T$$

Q : 潜熱係数 C_c : 雲の発生量
 Γ_d : 乾燥断熱減率 v_z : 速度の鉛直成分
 S_T : 地面からの熱

水蒸気と水滴

- 相転移

水滴: $\frac{\partial q_c}{\partial t} = -(\mathbf{u} \cdot \nabla) q_c + C_c - C_c - \alpha(q_v - q_s)$

水蒸気: $\frac{\partial q_v}{\partial t} = -(\mathbf{u} \cdot \nabla) q_v - C_c + S_v$

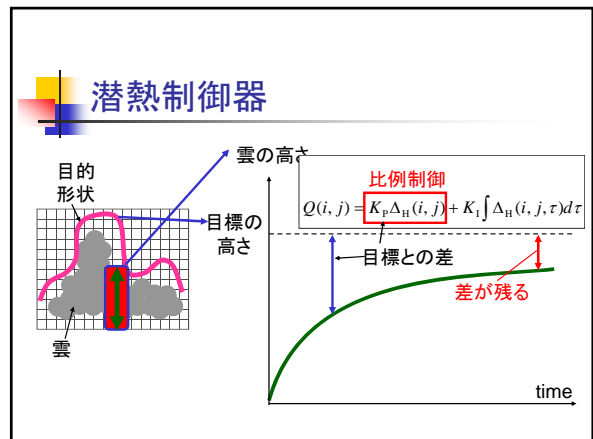
q_c : 雲密度 q_v : 水蒸気密度
 C_c : 相転移によって発生する雲の量

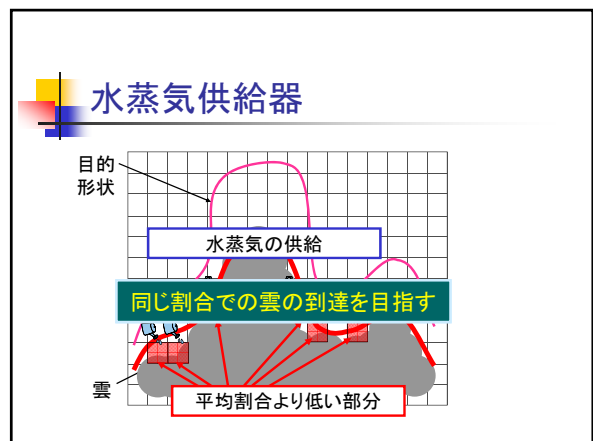
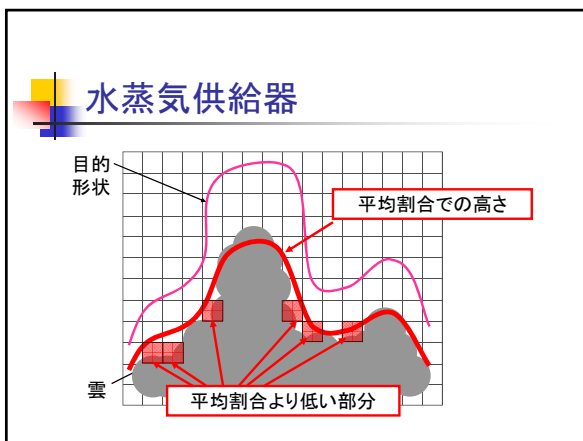
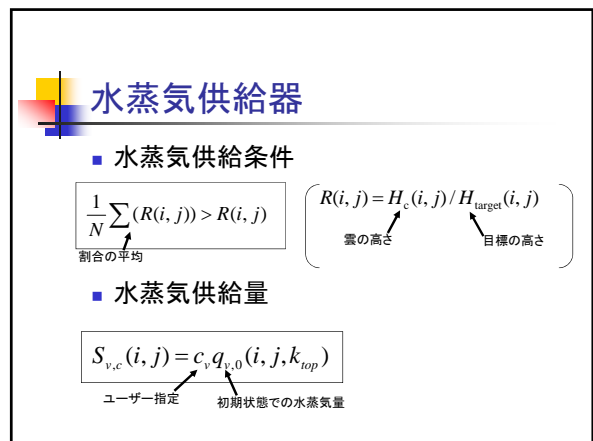
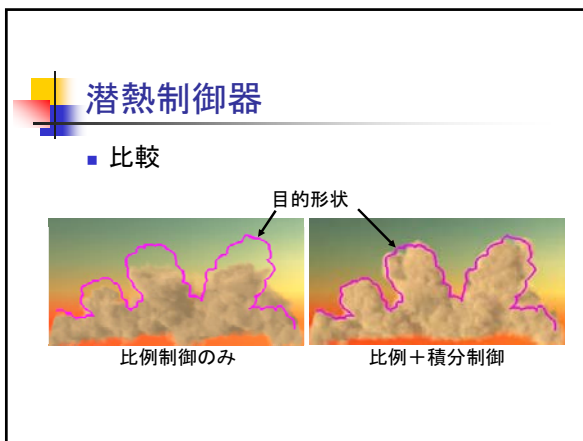
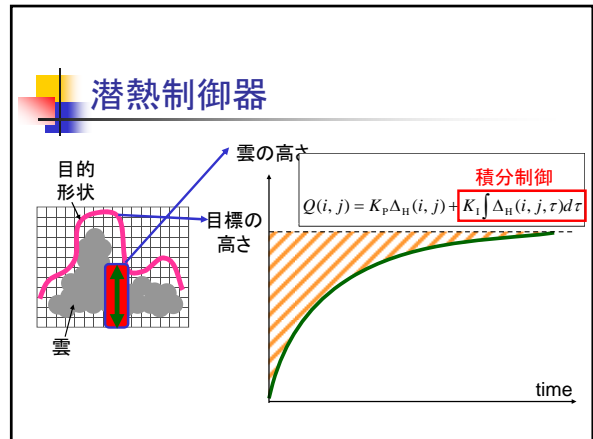
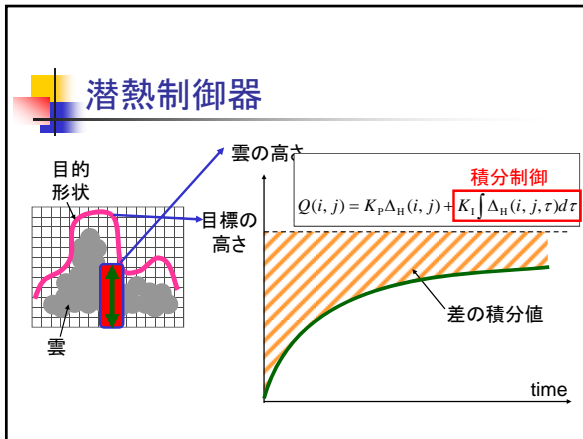
潜熱制御器

- PI制御器 (P: 比例, I: 積分)
- P制御: 差に比例して調整
- I制御: 差の積分値に比例して調整

$$Q(i, j) = K_p \Delta_H(i, j) + K_i \int \Delta_H(i, j, \tau) d\tau$$

(K_p : 比例ゲイン, K_i : 積分ゲイン)





雲のシミュレーションの制御

- 比較



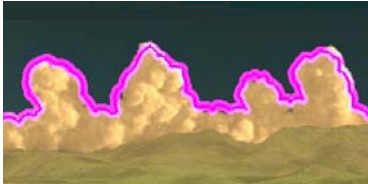
ポテンシャル場による制御



物理パラメータの制御

雲のシミュレーションの制御

- 例1



雲のシミュレーションの制御

- 例2




雲のシミュレーションの制御

- 例3




雲のシミュレーションの制御

- 失敗例




流体シミュレーションの制御

- 与えられた目的を自動的に形成
- しかし、試行錯誤はなくなる
 - 制御パラメータの存在
- 低解像度シミュレーションで試行錯誤
- 高解像度シミュレーションが低解像度シミュレーションと類似するよう制御

低解像度による高解像度の制御



[Nielsen09]

まとめ

- しっかりした手法を考案する上で数学は大変重要
- CGで使われている数学は比較的基礎的なもの(だと思います)
- もっといろいろ教えてください